

ارزیابی میزان حساسیت به فرسایش گالی در منطقه بیجار، استان کردستان

رضا اسماعیلی^{*}^۱، عیسی جوکار سرهنگی^۱، روناک شوکتی^۲

۱- استادیارگروه جغرافیای دانشگاه مازندران

۲- کارشناسی ارشد ژئومورفولوژی، دانشگاه مازندران

پذیرش مقاله: ۱۳۹۲/۶/۵

تأیید نهایی مقاله: ۱۳۹۲/۱۲/۱۳

چکیده

گالی‌ها یکی از مهم‌ترین اشکال فرسایش آبی در مناطق مختلف جهان هستند. فرسایش گالی موجب افزایش بار رسوی، تخریب خاک‌های حاصلخیز و آسیب رساندن به زیرساخت‌ها می‌شوند. این مطالعه حساسیت به فرسایش گالی را در یک حوضه رودخانه‌ای (از زیر حوضه‌های قزل اوزن) در منطقه بیجار استان کردستان ارزیابی می‌کند. شناسایی گالی‌ها از طریق برداشت‌های میدانی و تصاویر ماهواره‌ای انجام شده است. نقشه‌های سنگ‌شناسی، کاربری اراضی، شیب، جهت دامنه، شکل دامنه، عامل طول دامنه، شاخص قدرت رود و شاخص رطوبت توپوگرافی به عنوان عوامل موثر در فرسایش گالی در نظر گرفته شدند. نقشه حساسیت به فرسایش گالی با استفاده از مدل آماری دو متغیره انجام شد. مقادیر وزن هر کلاس از یک پارامتر به صورت لگاریتم طبیعی تراکم گالی‌ها هر کلاس تقسیم بر مساحت تراکم گالی‌ها در کل منطقه مورد مطالعه مشخص گردید. سپس، هر لایه بر اساس مقادیر وزن محاسبه شده دوباره کلاس‌بندی شدند. همپوشانی نقشه‌های دوباره کلاس‌بندی شده در محیط GIS انجام گردید. مقادیر حساسیت در پنج گروه طبقه‌بندی شدند. نتایج اعتبار سنجی منحنی ROC نشان می‌دهد بین نقشه حساسیت و داده‌های گالی‌های موجود رابطه رضایت‌بخشی وجود دارد. بنابراین، تقریباً ۸۷ درصد گالی‌ها به طور صحیح در طبقات با حساسیت بالا و بسیار بالا قرار گرفته‌اند.

واژه‌های کلیدی: فرسایش گالی، بیجار، GIS، آمار دو متغیره، ارزیابی حساسیت

قرار گرفته‌اند که از جمله آنها می‌توان تحقیقات جعفری گرزین و کاویان، ۱۳۸۸؛ مقصودی و همکاران، ۱۳۹۰؛ عرب قشقایی، ۱۳۹۰؛ کانفورتی و پیترو، ۲۰۱۱؛ لوکا و همکاران، ۲۰۱۱؛ بوازی و همکاران، ۲۰۱۱؛ کونوستنی و همکاران، ۲۰۱۳ اشاره نمود.

هدف اصلی این تحقیق تهیه نقشه مناطق حساس به فرسایش گالی و ارزیابی میزان حساسیت به فرسایش گالی در منطقه بیجار (استان کردستان) می‌باشد.

مواد و روش‌ها

منطقه مورد مطالعه: منطقه‌ی مورد مطالعه با مساحت $186/2$ کیلومترمربع در محدوده‌ی "۳۰° ۱۸' ۴۷" تا "۳۰° ۴۷' ۳۴" طول شرقی و "۳۵° ۵۹'" تا "۳۰° ۳۶' ۶" عرض شمالی در شمال غرب شهرستان بیجار در استان کردستان واقع شده است (شکل ۱). این منطقه یکی از زیر حوضه‌های رودخانه قزل‌اوزن است. این رودخانه در مسیر خود بعد از عبور از استان‌های کردستان و زنجان در محلی بنام منجیل به رودخانه شاهروド پیوسته و رودخانه سفیدرود را تشکیل داده و در نهایت به دریای خزر می‌رسید. محدوده مورد مطالعه طبق تقسیم‌بندی بربریان (۱۹۸۱) در محل برخورد زون‌های سنتندج- سیرجان و ایران مرکزی جای گرفته است. حداقل و حداقل ارتفاع منطقه به ترتیب ۲۱۵۳ و ۱۶۰۰ متر از سطح دریای آزاد می‌باشد. شکل شبکه زهکشی حوضه از نوع شاخه درختی می‌باشد و تراکم زهکشی حوضه مورد مطالعه $۵/۹$ کیلومتر در هر کیلومترمربع است. میزان بارش در استان کردستان از غرب به شرق کاهش پیدا می‌کند و در بیجار به حدود ۳۰۰ میلی‌متر در سال می‌رسد. به طور کلی متوسط

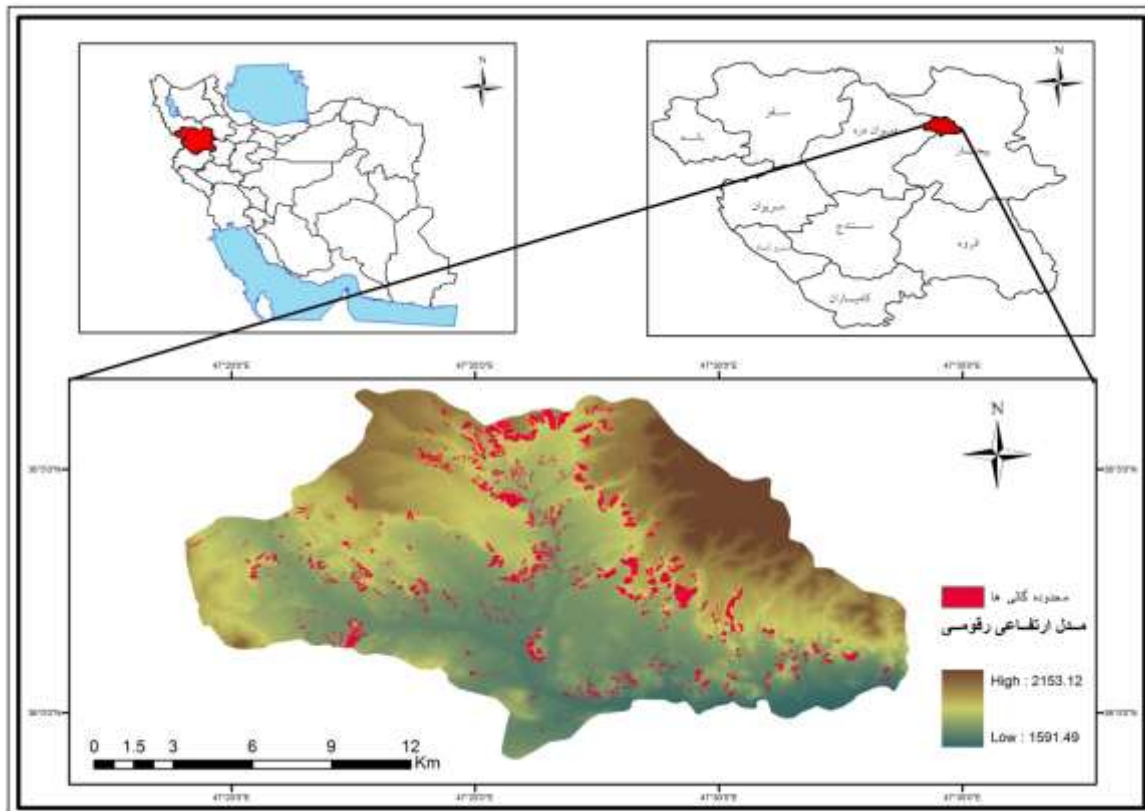
مقدمه

فرسایش آبی یکی از مهم‌ترین فرایندهای تخریب زمین به‌ویژه در مناطق نیمه‌خشک به شمار می‌آید. از میان انواع مختلف اشکال فرسایش آبی، فرسایش گالی یکی از مهم‌ترین رخدادهای مؤثر در نابودی خاک، تغییر سطح زمین و منابع آب و پسrfت اراضی است (احمدی، ۱۳۸۶). گالی‌ها کanal‌هایی هستند که مساحت مقطع عرضی آنها بیش از ۹۲۹ سانتیمتر مربع باشد (زوکا و همکاران ۲۰۰۶). گالی، آبراهه‌ای است نسبتاً دائمی که جریان‌های موقتی آب در هنگام بارندگی از آن می‌گذرد و مقدار بسیار زیادی رسوب در خود حمل می‌کند. در نتیجه گالی‌ها سبب تلفات فراوان خاک و تولید مقادیر فراوان رسوب شده و با ترسیب در آبراهه‌ها، مخازن سدها، آبگیرها و عرصه بنادر، کاهش ظرفیت آبگیری آنها، زیان‌های اقتصادی فراوانی به بار می‌آورد.

به دلیل اهمیت زیادی که فرسایش گالی در فرسایش خاک دارد در زمینه‌های مختلف مورد مطالعه و بررسی قرار گرفته است. برخی از مطالعات، مورفومتری گالی‌ها را در ارتباط با خصوصیات خاک (نکویی مهر و امامی، ۱۳۸۶؛ حسین‌زاده و همکاران ۱۳۸۹؛ نوچه‌گر و حیدر زاده، ۱۳۹۰) مورد بررسی داده‌اند. برخی دیگر عوامل مؤثر در وقوع و شکل‌گیری گالی‌ها (فیض‌نیا و همکاران، ۱۳۸۶؛ ثروتی و همکاران، ۱۳۸۷؛ خزایی و همکاران، ۱۳۹۱) را مورد بررسی قرار داده‌اند. پهن‌بندی وقوع فرسایش گالی نیز به عنوان یکی از زمینه‌های مطالعاتی که در سال‌های اخیر با استفاده از سیستم‌های اطلاعات جغرافیایی و سنجش‌از دور مورد بررسی

ماه‌هاست. میانگین دمای سالانه منطقه بیجار $11/3$ درجه سانتی‌گراد بوده و اقلیم منطقه نیز بر اساس روش آمبرژه سرد و خشک می‌باشد.

بارش منطقه مورد مطالعه بین $۲۸۰-۳۲۰$ میلی‌متر در سال بوده و مقدار آن در ماه‌های فروردین، اردیبهشت و آبان بیشتر از سایر



شکل ۱: نقشه‌ی موقعیت منطقه‌ی مورد مطالعه در شهرستان بیجار، استان کردستان

مانند شاخص قدرت رود^(۱) (SPI)، شاخص طول دامنه^(۲) (LS) و شاخص رطوبت توپوگرافی^(۳) (TWI) از روابط زیر استفاده گردید.

- عامل طول دامنه: پارامتری است که با در نظر گرفتن اثرات توپوگرافی در فرسایش، در معادله اصلاح شده جهانی فرسایش خاک (RUSLE^(۴)) مورد استفاده قرار گرفته است (رنارد و همکاران ۱۹۹۷). روش‌های مختلفی برای تعیین عامل طول شیب (LS) بر اساس مدل ارتفاعی رقومی وجود

روش کار: در ابتدا با استفاده از نقشه‌های توپوگرافی رقومی ۱:۲۵۰۰۰ سازمان نقشه‌برداری محدوده مورد مطالعه مشخص گردید و مدل ارتفاعی رقومی (DEM) آن تهیه شد. نقشه سنگ‌شناسی منطقه از نقشه‌های زمین‌شناسی ۱:۱۰۰۰۰ سازمان زمین‌شناسی کشور تهیه و رقومی گردید. نقشه پراکنش گالی‌های منطقه با استفاده از تصاویر ماهواره‌ای Google earth و بازدیدهای میدانی تهیه گردید. نقشه‌های زاویه شیب، جهت دامنه و شکل دامنه با استفاده از توابع موجود در نرم‌افزار ARC GIS ایجاد گردید. برای ایجاد لایه‌های مرتبط با عامل‌های توپوگرافی

2 - Stream power index

3 - Length slope

4- Topographic wetness index

5 - Revised Universal Soil Loss Equation

توپوگرافی که در تولید نقشه حساسیت به فرسایش گالی مورد استفاده قرار گرفتند. هر یک از لایه‌های فوق کلاس‌بندی شده و مساحت گالی‌ها در هر یک از کلاس‌ها محاسبه و تراکم گالی‌ها در هر کلاس به دست آمد. سپس با استفاده از فرمول وان وستن وزن هر کلاس محاسبه گردید (رابطه ۴) (لوکا و همکاران ۲۰۱۱: رابطه ۴)

$$Wi = \ln \frac{DensClas}{DensMap} = \ln \frac{NpixSi/NpixNi}{(\sum NpixSi)/(\sum NpixNi)}$$

که در این رابطه، Wi : مقدار وزن هر یک از کلاس‌ها، $DensClas$: تراکم گالی‌های موجود در هر کلاس، $DensMap$: تراکم کل گالی‌های موجود در منطقه، $NpixSi$: تعداد پیکسل گالی-های موجود در هر کلاس، $NpixNi$: تعداد پیکسل‌های هر یک از کلاس‌ها، $\sum NpixSi$ مجموع کل پیکسل گالی‌های موجود در منطقه مورد مطالعه، $\sum NpixNi$ مجموع کل پیکسل-های منطقه مورد مطالعه. مقدار Wi به علت وجود لگاریتم طبیعی در فرمول می‌تواند به صورت مثبت یا منفی محاسبه گردد که به ترتیب می‌توانند نشان‌دهنده‌ی تأثیر یا عدم تأثیر کلاس مورد نظر در وقوع پدیده (گالی) باشند.

برای برآورده میزان حساسیت به فرسایش گالی از یک روش آماری دو متغیره در محیط GIS استفاده گردید و نقشه حساسیت منطقه به فرسایش گالی نیز تهیه شد. پس از محاسبه وزن هر کلاس از لایه‌های تأثیرگذار در ایجاد گالی، هر یک از لایه‌های اطلاعاتی مجدداً بر اساس وزن محاسبه شده، طبقه‌بندی شدند. با همپوشانی مجموع این لایه‌ها نقشه حساسیت به فرسایش گالی تهیه گردید و در نهایت از نظر اعتبارسنجی در نرم‌افزار SPSS مورد تحلیل قرار گرفت.

دارد که در این تحقیق بر اساس رابطه مور و بروج محاسبه گردید (رابطه ۱) (کانفورتی و پیترو، ۲۰۱۱: رابطه ۱)

$$LS = \left(\frac{fa \times cellsize}{22.13} \right)^{0.4} \times \left(\frac{\sin \sigma}{0.0896} \right)^{1.3}$$

که fa : جریان تجمعی است و بر اساس مدل ارتفاعی رقومی منطقه در GIS تهیه شد و σ : شبیب بر حسب درجه می‌باشد.

- **شاخص قدرت رود (SPI)**: برای اندازه‌گیری قدرت فرسایندگی جریان آب مورد استفاده قرار گرفته و یکی از عوامل کنترل فرسایش دامنه-ها می‌باشد. شاخص قدرت رود (SPI) بر اساس مدل رقومی منطقه و رابطه مور و همکاران (۱۹۹۱) محاسبه گردید (رابطه ۲) (لوکا و همکاران ۲۰۱۱: رابطه ۲)

$$SPI = AS \times \tan \sigma \quad (2)$$

که در آن AS : جریان تجمعی و σ : شبیب بر حسب درجه می‌باشد.

- **شاخص رطوبت توپوگرافی (TWI)**: ارتباط مستقیمی با فرایندهای فرسایش خاک دارد. مور و همکاران (۱۹۹۱) پیشنهاد کرده‌اند که شاخص رطوبت توپوگرافی در حالت شرایط پایدار و خاک-هایی با ویژگی‌های یکسان محاسبه شود. شاخص توپوگرافی رطوبت (TWI) بر اساس رابطه مور و همکاران (۱۹۹۱) محاسبه گردید (رابطه ۳) (کانفورتی و پیترو، ۲۰۱۱: رابطه ۳)

$$TWI = \ln \left(\frac{AS}{\tan \sigma} \right) \quad (3)$$

که در آن AS : جریان تجمعی، σ : شبیب بر حسب درجه می‌باشد.

بعد از تهیه لایه‌های اطلاعاتی سنگ‌شناسی، کاربری اراضی، شبیب، جهت دامنه، شکل دامنه، شاخص قدرت رود، طول دامنه و شاخص رطوبت

جنوب و جنوب شرقی حدود ۳۰ درصد از مساحت منطقه مورد مطالعه را به خود اختصاص داده‌اند. گالی‌ها به ترتیب در جهت‌های غرب و جنوب غربی بیشترین تراکم را داشته‌اند (جدول ۱).

- **شكل دامنه :** شکل دامنه یکی از عوامل مؤثر در همگرایی یا واگرایی جریان آب بر روی دامنه بوده و در فرایندهای فرسایش آبی تأثیرگذار می‌باشد. شکل دامنه در سه گروه مقعر، محدب و مستقیم طبقه‌بندی شدند (شکل ۲ث). بیشترین تراکم گالی‌ها در دامنه مقعر ثبت شده است (جدول ۱).

- **عامل طول دامنه (LS) :** پراکنش فضایی LS منطقه در شکل ۲ج نشان داده شده است. این نقشه در پنج گروه تقسیم‌بندی گردید که بیشترین تراکم گالی‌ها در طبقه‌ی ۵۰-۲۰ م مشاهده شده است، یعنی در محدوده‌ی با مقدار LS بالاتر مساحت گالی‌ها نیز بیشتر بوده است (جدول ۱).

- **شاخص قدرت رود (SPI) :** مناطقی که شاخص قدرت جریان بالایی دارند از پتانسیل زیادی برای فرسایش برخوردار هستند (نفس‌لیگلو و همکاران ۲۰۰۸). در منطقه مورد مطالعه، مقادیر SPI در پنج گروه تقسیم‌بندی شدند (شکل ۲ج). بیشترین تراکم گالی‌ها در SPI با مقادیر بالا (طبقه ۱۵-۱۰) شکل‌گرفته‌اند (جدول ۱).

- **شاخص رطوبت توپوگرافی (TWI) :** شاخص رطوبت توپوگرافی منطقه در پنج گروه تقسیم‌بندی شدند (شکل ۲ح). بیشترین تراکم گالی‌ها در رطوبت توپوگرافی کم (طبقه ۵-۲) تشکیل شده‌اند (جدول ۱).

نتایج

عوامل تأثیرگذار در ایجاد فرسایش گالی در منطقه

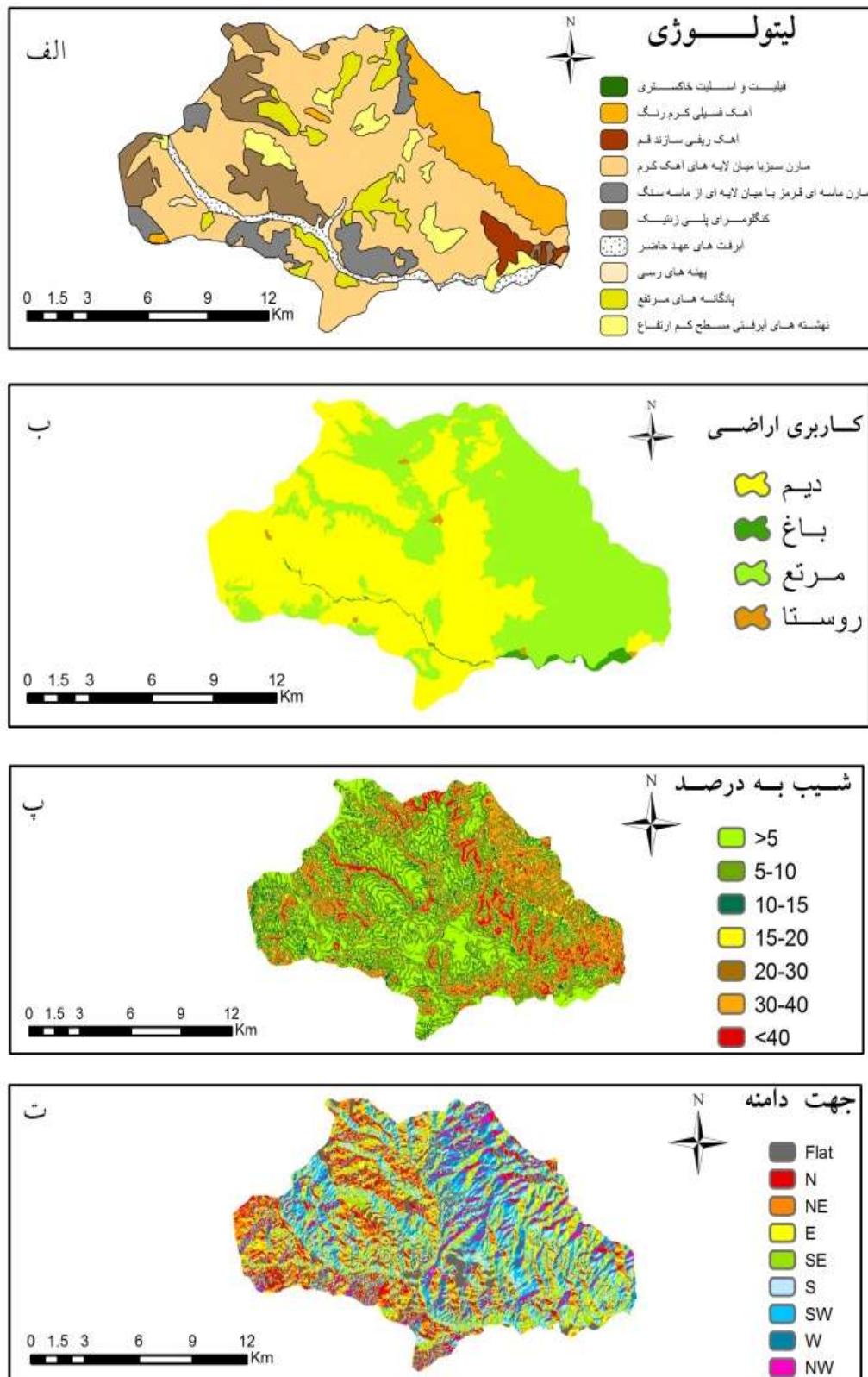
در این تحقیق عوامل تأثیرگذار در تهییه نقشه حساسیت به گالی به صورت کلاس‌های مختلف تقسیم‌بندی شدند که عبارت‌اند از:

- **سنگ‌شناسی :** سنگ‌شناسی منطقه به ده کلاس طبقه‌بندی شده است (شکل ۲ الف و جدول ۱) که مارن ماسه‌ای سبز با میان لایه آهک کرم (سازند قم) گستردترین واحد سنگ‌شناسی بوده و ۵۲/۴ درصد از مساحت منطقه مورد مطالعه را تشکیل می‌دهد. بیشترین تراکم گالی‌های منطقه هم در آهک‌های ریفی و مارن‌های سبز سازند قم ثبت شده است.

- **کاربری اراضی:** کاربری اراضی منطقه به چهار گروه تقسیم‌بندی شدند (شکل ۲ب). زمین‌هایی زیر کشت دیم بیشترین کاربری منطقه بوده و ۵۱/۸ درصد مساحت منطقه را شامل می‌شود. سپس مراتع فقیر با ۴۶/۷ درصد از مساحت منطقه در رتبه بعدی قرار دارد. بیشترین تعداد گالی‌ها نیز مراتع مشاهده شده است (جدول ۱).

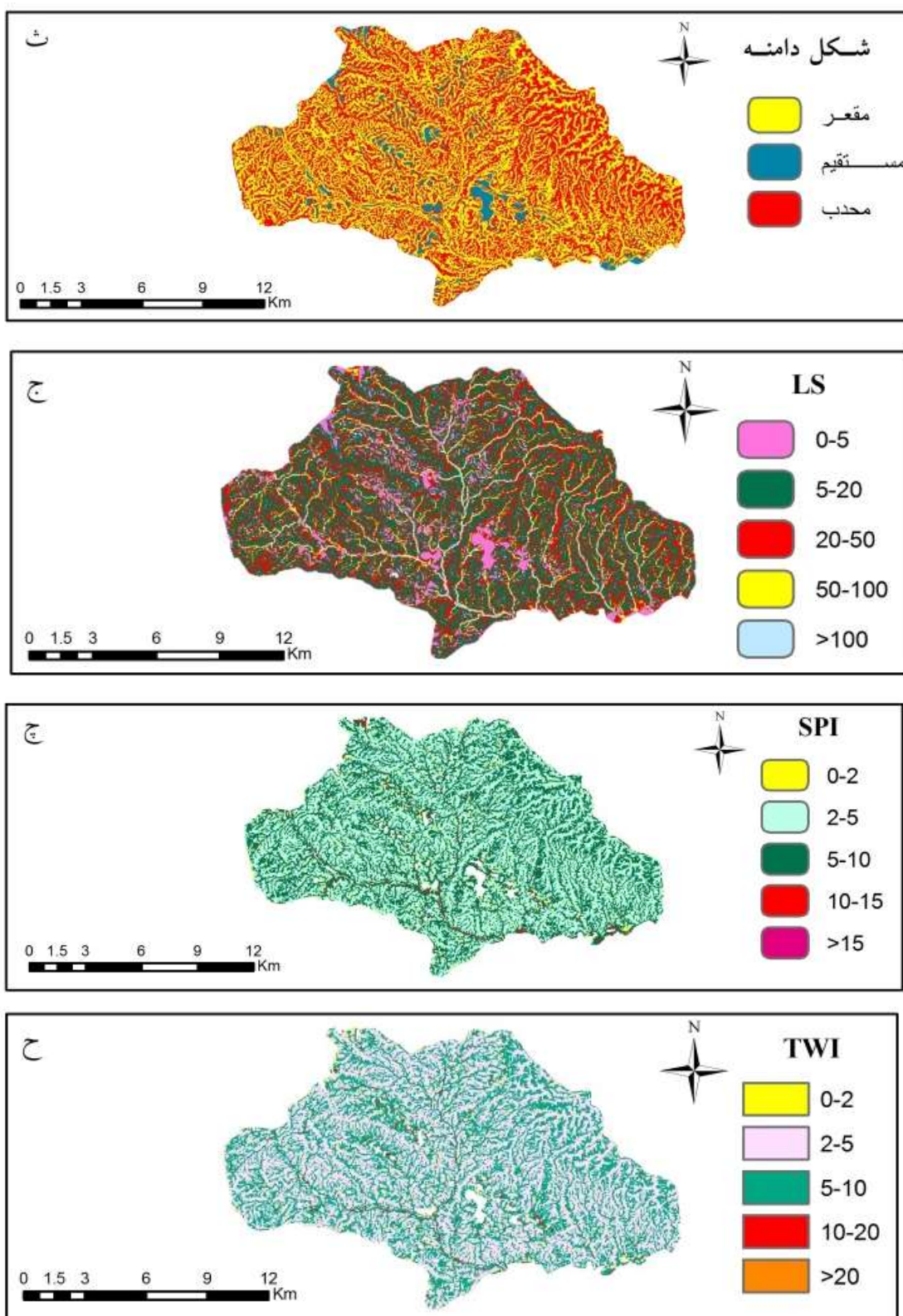
- **شیب :** شیب دامنه‌های منطقه مورد مطالعه در هفت گروه طبقه‌بندی شدند (شکل ۲پ). طبقه شیب ۵-۱۰ درصد بیشترین مساحت از منطقه مورد مطالعه را شامل می‌شود (جدول ۱). بیشترین تراکم گالی‌های در طبقات بیش از ۲۰ درصد و خصوصاً در شیب بیش از ۴۰ درصد بوده است.

- **جهت دامنه :** نقشه جهت شیب منطقه مورد مطالعه در نه طبقه‌ی مسطح، شمال، شمال شرق، شرق، جنوب شرق، جنوب، جنوب غربی، غرب و شمال غرب تقسیم‌بندی شدند (شکل ۲ت). جهت



شکل ۲: لایه های کلاس بندی شده عوامل مؤثر در وقوع گالی ها در منطقه مورد مطالعه

(الف) لیتولوژی (ب) کاربری اراضی (پ) شبیه (ت) جهت دامنه



ادامه شکل ۲: لایه‌های کلاس‌بندی شده (θ) شکل دامنه (ج) LS (ح) SPI (ح) TWI (ح)

جدول ۱ : طبقه‌بندی پارامترهای مؤثر در وقوع گالی در منطقه مورد مطالعه

Wi	تراکم گالی(تعداد پیکسل)	درصد مساحت طبقه	مساحت طبقه(کیلومتر مربع)	سنگ‌شناسی
.	.	۰/۰۱	۰/۰۲	فیلیت و اسلیت خاکستری
-۱/۳	۰/۰۱۴	۰/۵	۰/۹	آهک فسیلی کرم
۰/۴۹	۰/۰۸۶	۲	۳/۶	آهک ریفی (سازند قم)
۰/۴۵	۰/۰۸۳	۵۲/۴	۹۷/۴	مارن سیز با میان لایه آهک کرم (سازند قم)
-۰/۱۸۹	۰/۰۲۲	۷/۱	۱۳/۲	مارن ماسه‌ای قرمز با میان لایه‌هایی از ماسه‌سنگ
-۰/۹۴	۰/۰۲۱	۱۰/۹	۲۰/۲	کنگلومرای پلی ژنتیک
-۱/۵۵	۰/۰۱۱	۴	۷/۵	آبرفت‌های عهد حاضر در مسیل رودخانه
.	.	۰/۲	۰/۴	پهنه‌های رسی
-۲/۱۶	۰/۰۰۶	۶/۴	۱۱/۹	پادگانه‌های مرتفع
-۰/۱۵۸	۰/۰۳	۵/۲	۹/۷	نهشته‌های آبرفتی مسطح کم ارتفاع
کاربری اراضی				
-۰/۱۸۵	۰/۰۲۳	۵۱/۸	۹۶/۳	دیم
-۵/۷	۰/۰۰۰۲	۱/۲	۲/۳	باغ
۰/۵۱	۰/۰۸۸	۴۶/۷	۸۶/۹	مرتع
.	.	۰/۳	۰/۶	روستا
شیب به درصد				
-۱/۴۹	۰/۰۱۱	۱۸/۸	۳۵	۵>
-۱/۳۲	۰/۰۱۳	۲۲/۴	۴۱/۶	۵-۱۰
-۰/۱۵۵	۰/۰۲۸	۱۴/۶	۲۷/۲	۱۰-۱۵
-۲/۲۵	۰/۰۰۵	۱۱/۸	۲۲	۱۵-۲۰
۰/۴۱	۰/۰۷	۱۷/۴	۳۲/۴	۲۰-۳۰
۰/۹۱	۰/۱۲	۹/۶	۱۸	۳۰-۴۰
۱/۷۳	۰/۲۷	۵/۴	۱۰	>۴۰
جهت دامنه				
-۱/۲	۰/۰۱۶	۵/۷	۱۰/۷	هموار
-۰/۱۳۵	۰/۰۳۷	۹/۹	۱۸/۴	N
-۰/۰۳	۰/۰۵۱	۱۱/۸	۲۱/۹	NE
۰/۰۳	۰/۰۵۴	۱۳/۲	۲۴/۶	E

-۰/۰۸	۰/۰۴۹	۱۴/۸	۲۷/۶	SE
۰/۰۳	۰/۰۵۴	۱۵/۲	۲۸/۳	S
۰/۲۶	۰/۰۶۹	۱۳	۲۴/۱	SW
۰/۳۲	۰/۰۷۲	۱۰	۱۸/۵	W
۰/۰۱	۰/۰۵۳	۶/۴	۱۲	NW
شكل دامنه				
۰/۲۹	۰/۰۷	۴۸	۸۹/۳	مقعر
-۱/۲۸	۰/۰۱	۶/۳	۱۱/۷	مستقیم
-۰/۲۸	۰/۰۴	۴۵/۸	۸۵/۲	محدب
LS				
-۱/۷۷	۰/۰۰۹	۸/۴	۱۵/۹	۰-۵
-۰/۰۴	۰/۰۵	۵۲/۴	۹۸/۵	۵-۲۰
۰/۳۶	۰/۰۷۵	۲۹/۵	۵۵/۴	۲۰-۵۰
-۰/۲۸	۰/۰۳۹	۶/۳	۱۱/۹	۵۰-۱۰۰
-۰/۷	۰/۰۲	۳/۳۱	۶/۲۱	>۱۰۰
SPI				
-۰/۷۴	۰/۰۲۵	۲/۶	۴/۸	۰-۲
-۵/۲۶	۰/۰۰۰۳	۵۴	۹۹/۶	۲-۵
-۰/۰۴۵	۰/۰۵	۴۱/۹	۷۷/۲	۵-۱۰
۳/۶۵	۲/۰۳	۱/۵	۲/۷	۱۰-۱۵
.	.	۰/۰۱	۰/۰۲	>۱۵
TWI				
-۰/۱۸۷	۰/۰۲۲	۲/۶	۴/۸	۰-۲
۰/۰۷	۰/۰۵۷	۵۴/۳	۱۰۰/۱	۲-۵
-۰/۰۳	۰/۰۵۱	۴۱/۷	۷۶/۹	۵-۱۰
-۱/۵۲	۰/۰۱۲	۱/۳	۲/۴	۱۰-۲۰
-۱/۷۵	۰/۰۰۹	۰/۰۲	۰/۰۳	>۲۰

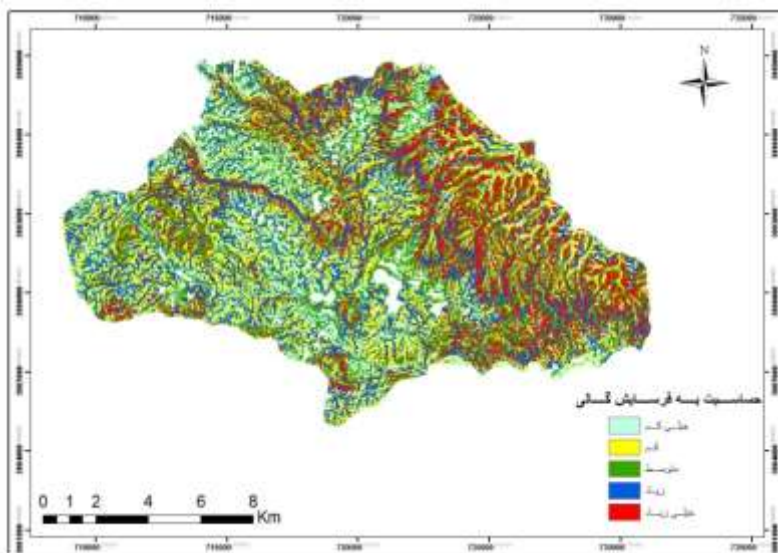
شیب $WI > 40$ ($WI = 1/73$)، جهت غربی ($WI = 0/32$)،
دامنهای مقعر ($WI = 0/29$)، طول شیب در
طبقه $WI = 0/36$ ($20-50$)، شاخص قدرت رود
در طبقه $WI = 3/65$ ($10-15$) و شاخص رطوبت
توبوگرافی در طبقه $WI = 0/07$ ($2-5$) مشاهده
شده است. در مقابل، تراکم گالیها در پادگانهای
مرتفع ($WI = -2/16$ ، کاربری باغ ($WI = -5/7$)),
شیب $20-25$ درصد ($WI = -2/35$ ، دامنهای

تجزیه و تحلیل میزان حساسیت

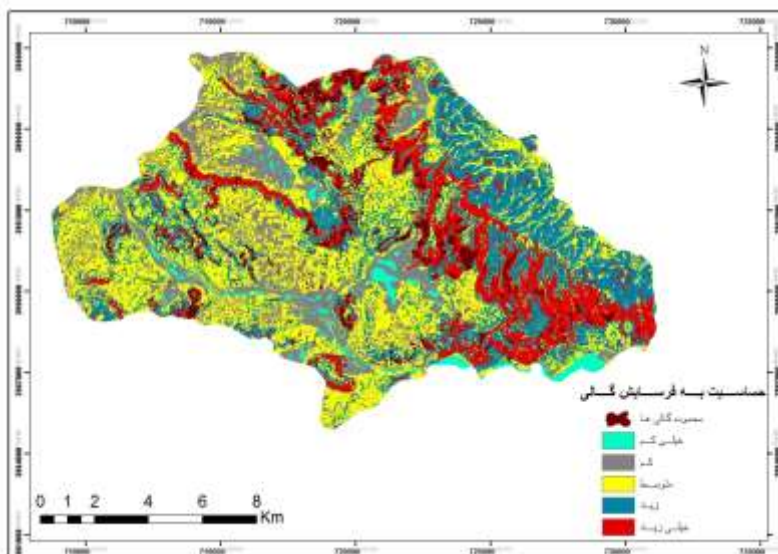
مقادیر تراکم گالیهای منطقه و مقدار وزن آنها
در جدول ۱ نشان داده شده است. ارزش مثبت یا
منفی Wi نشان می‌دهد که هر طبقه از عوامل
تأثیرگذار چه مقدار در شکل‌گیری و گسترش
گالیها نقش داشته است. بالاترین Wi در
سنگ‌شناسی مربوط به آهک ریفی سازند قم
($WI = 0/49$ ، در کاربری مرتع ($WI = 0/51$))

اراضی، شیب، جهت دامنه و شکل دامنه) در تهیه نقشه حساسیت نقش داشته‌اند (شکل ۴). نقشه‌های ایجادشده با استفاده از روش شکست طبیعی به پنج کلاس با حساسیت‌های خیلی کم، کم، متوسط، زیاد و خیلی زیاد طبقه‌بندی شدند (شکل‌های ۳ و ۴). در روش شکست طبیعی، نقاط عطف داده، مرز بین طبقات را مشخص می‌کنند (قهرودی تالی، ۱۳۸۴).

مستقیم ($LS = -1/28$)، طبقه $WI = -1/77$ و $-1/26$ ($SPI = 2-5$) و $(WI = -5/26)$ و $TWI = >20$ ($TWI = -1/75$) کم می‌باشد. بعد از تهیه لایه‌های فوق، نقشه حساسیت به فرسایش گالی در دو حالت تهیه شدند. در حالت اول همه‌ی ۸ پارامتر مرحله قبلی در ایجاد نقشه نهایی مورد استفاده قرار گرفتند (شکل ۳) و در حالت دوم فقط ۵ پارامتر (سنگ‌شناسی، کاربری



شکل ۳: نقشه حساسیت به فرسایش گالی در منطقه مورد مطالعه (۸ پارامتری)



شکل ۴: نقشه حساسیت به فرسایش گالی در منطقه مورد مطالعه (۵ پارامتری)

(۲۰۰۶).

روش متداول محاسبه‌ی مساحت زیر منحنی ROC به طور مختصر AUC نام دارد و مقدار آن بین صفر تا یک متغیر است. هوسمر و لمشو (۲۰۰۰) مقادیر زیر را برای تفسیر AUC ارائه نمودند (جدول ۲).

اعتبار یابی مدل

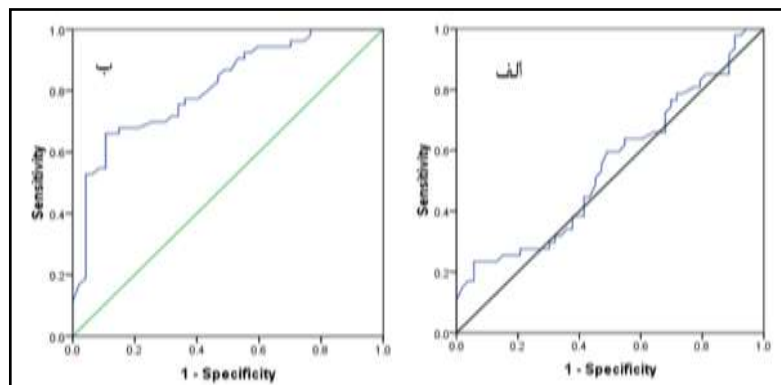
در مدل‌سازی پیش‌بینی مهم‌ترین مؤلفه انجام اعتبار یابی نتایج پیش‌بینی است (چونگ و فابری، ۲۰۰۳). در این تحقیق از تکنیک ROC استفاده شده است. نمودار ROC تکنیکی برای تصویرسازی، سازماندهی و انتخاب طبقه‌بندی کننده‌ها بر اساس کارایی آنها می‌باشد (فاوست،

جدول ۲ : تفسیر مقادیر AUC (هوسمر و لمشو ۲۰۰۰)

AUC	تفسیر
< ۰/۵	بدون تشخیص
۰/۷ - ۰/۸	تشخیص قابل قبول
۰/۸ - ۰/۹	تشخیص عالی
> ۰/۹	تشخیص برجسته (اما بسیار کمیاب)

شده و مدل قابلیت تشخیص ندارد (جدول ۳). در نقشه دیگر (شکل ۴) که پیش‌بینی با استفاده از ۵ پارامتر (سنگ‌شناسی، کاربری اراضی، زاویه شیب، جهت دامنه، شکل دامنه) انجام شد. منحنی ROC به صورت محدب بوده (شکل ۵ ب) و مساحت زیر منحنی (مقدار AUC) ۰/۸۱ محسوبه گردید که در سطح معنی‌داری ۰/۰۵ محسوبه گردید که در سطح معنی‌داری ۰/۰۵ قابل قبول بوده و مدل با استفاده از این پارامترها قابلیت پیش‌بینی را داراست (جدول ۳).

در پیش‌بینی نقشه حساسیت به فرسایش گالی در منطقه بیجار، نقشه‌های نهایی از ۵ و ۸ پارامتر تهیه شدند (شکل‌های ۳ و ۴). در نقشه ۸ پارامتری که از لایه‌های سنگ‌شناسی، کاربری اراضی، زاویه شیب، جهت دامنه، شکل دامنه و عامل‌های توپوگرافی (SPI ، TWI و LS) استفاده شده است. منحنی ROC در نزدیکی خط ۰/۵ قرار گرفته (شکل الف) و مقدار AUC آن ۰/۵۴۷ محسوبه گردید که در سطح معنی‌داری ۰/۰۵ رد



شکل ۵ : نمودار ROC نقشه حساسیت به گالی در منطقه مطالعه، الف) منحنی ROC برای نقشه ۸ پارامتری و ب) منحنی ROC برای نقشه ۵ پارامتری

درصد گالی‌های منطقه نیز در این طبقات قرارگرفته‌اند (جدول ۴).

بر اساس مدل اخیر تقریباً ۴۹ درصد منطقه در گروه حساسیت زیاد و بسیار زیاد قرارگرفته و ۸۷/۲

جدول ۴ : مساحت طبقات حساسیت به فرسایش گالی در نقشه ۵ پارامتری

طبقات	تعداد پیکسل های هر طبقه	درصد پیکسل های هر طبقه	درصد تجمعی هر طبقه	تعداد پیکسل های گالی	تراکم گالی به درصد	درصد تجمعی گالی
خیلی کم	۴۳۲۱۲	۲/۳	۲/۳	۲۸	۰/۰۳	۰/۰۳
کم	۳۲۹۷۸۴	۱۷/۸	۲۰/۱	۲۴۸۷	۲/۵	۲/۵۶
متوسط	۵۹۸۲۱۹	۳۲/۲	۵۲/۳	۱۰۰۷۴	۱۰/۳	۱۲/۸۴
زیاد	۵۴۰۰۷۹	۲۹/۱	۸۱/۴	۲۳۷۰۶	۲۴/۲	۳۷/۰۱
خیلی زیاد	۳۴۴۸۰۳	۱۸/۶	۱۰۰	۶۱۷۷۳	۶۳	۱۰۰
مجموع	۱۸۵۶۰۹۷	۱۰۰	-	۹۸۰۶۸	۱۰۰	-

جدول ۳ : مقادیر AUC نقشه‌های حساسیت به فرسایش گالی

سطح معنی داری Sig	خطای استاندارد	AUC	مدل
۰/۴۱۵	۰/۰۵۸	۰/۵۴۷	۸ پارامتری
.	۰/۰۴۲	۰/۸۱۳	۵ پارامتری

نهایی که با استفاده از روش آماری دو متغیره انجام گردید مقدار کم ROC (۰/۵۴۷) نشان می‌دهد که مدل هشت پارامتری قابلیت پیش‌بینی مناسبی ندارد. در کار مشابهی که توسط کانفورتی و پیترو (۲۰۱۱) انجام گردید نشان می‌دهد که مدل آماری دو متغیره با دقت خوبی توانسته است محدوده‌های حساس به فرسایش گالی را پیش‌بینی نماید که در این تحقیق نیز مورد تأیید قرارگرفته است. البته در مطالعه کانفورتی و پیترو هر هشت پارامتر فوق در پیش‌بینی مدل مناسب تشخیص داده شده‌اند. اما در این تحقیق مدل هشت پارامتری مورد تأیید قرار نگرفته است. البته استفاده از روابط تجربی برای محاسبه TWI، SPI

نتیجه‌گیری

فرسایش گالی، ۵ درصد مساحت منطقه مورد مطالعه را شامل می‌شود. تحلیل عوامل مؤثر در وجود فرسایش گالی نشان می‌دهد که ستگ‌شناسی مارنی و کاربری اراضی مرتع فقری به همراه عوامل ژئومورفولوژیکی مانند گرادیان شبیه (بیش از ۴۰ درصد)، جهت (غرب و جنوب غربی) و شکل دامنه (مقعر) نقش مهمی در وقوع فرسایش گالی در منطقه مورد مطالعه داشته‌اند. با توجه به مباحث مطرح شده در قسمت نتایج، عوامل توپوگرافی مانند شاخص قدرت رود، شاخص رطوبت توپوگرافی و طول دامنه با تراکم گالی‌ها در منطقه ارتباط دارند، اما در مدل‌سازی

رو، تقریباً ۸۷ درصد گالی‌ها با احتمال ۹۵ درصد بهدرستی در محدوده‌های حساسیت زیاد و بسیار زیاد قرار گرفته‌اند. با توجه به تأیید این مدل پیشنهاد می‌شود که کارابی این مدل برای مناطق دیگر هم مورد ارزیابی قرار گیرد.

- فیض نیا، س، حشمتی، م، احمدی، ح، و قدوسی، ج، ۱۳۸۶. بررسی فرسایش آبکنندی سازند مارنی آغازاری در منطقه قصر شیرین، پژوهش و سازندگی در منابع طبیعی، شماره ۷۴، ۳۰-۴۰ ص.
- قهروندی تالی، م، ۱۳۸۴. سیستم اطلاعات جغرافیایی در محیط سه بعدی GIS سه بعدی در ARC GIS، جهاد دانشگاهی واحد تربیت‌علم، ۲۶۶ ص.
- مقصودی، م، شاد فر، ص، و عباسی، م، ۱۳۹۰. پهنه‌بندی حساسیت اراضی به فرسایش خندقی در حوضه‌ی زواریان استان قم، پژوهش‌های ژئومورفولوژی کمی، شماره ۲، ص ۵۲-۳۵.
- نکوبی مهر، م، و امامی، س، ۱۳۸۶. تعیین مهم‌ترین ویژگی‌های شکل‌شناسی خندق‌ها در طبقه‌بندی مورفوکلیماتیک مناطق تحت تأثیر فرسایش خندقی (مطالعه موردنی استان چهارمحال و بختیاری)، پژوهش و سازندگی در منابع طبیعی، شماره ۷۷، ص ۸۴-۹۲.
- نوحه گر، ا، و حیدر زاده، م، ۱۳۹۰. مطالعه خصوصیات فیزیکی - شیمیایی و مورفومتری خندقی (مطالعه موردنی، گزیر استان هرمزگان)، پژوهش فرسایش محیطی، سال ۱، شماره ۱، ص ۴۳-۲۹.

و LS به اندازه پیکسل‌های مدل ارتفاعی رقومی (DEM) و دقت آنها بستگی دارد. در مجموع در منطقه مورد مطالعه، مدل پنج پارامتری، با توجه به مقادیر ROC، پیش‌بینی مناسبی از پهنه‌های حساس به فرسایش گالی را نشان می‌دهد. از این

منابع

- احمدی، ح، ۱۳۸۶. ژئومورفولوژی کاربردی، جلد ۱ فرسایش آبی، تهران، انتشارات دانشگاه تهران، ۵۷۵ ص.
- ثروتی، م، قدوسی، ج، و دادخواه، م، ۱۳۸۷. عوامل موثر در شکل‌گیری و گسترش فرسایش خندقی در لس‌ها، پژوهش و سازندگی در منابع طبیعی، شماره ۷۸، ص ۲۱-۳۳.
- جعفری گرزین، ب، و کاویان، ع، ۱۳۸۸. ارزیابی وقوع فرسایش خندقی در حوزه آبخیز سرخ‌آباد مازندران با استفاده از سنجش‌ازدور و سامانه اطلاعات جغرافیایی، مجله علمی پژوهشی علوم و مهندسی آبخیزداری ایران، شماره ۱۷، ص ۵۵-۶۸.
- حسین زاده، م. م، اسماعیلی، ر، جوری، م. ح، و پور کلهر، س، ۱۳۸۸. طبقه‌بندی گالی‌ها بر مبنای ویژگی‌های مورفومتریک با استفاده از تکنیک آماری چند متغیره (مطالعه موردنی: فیروز کلا-نوشهر)، پژوهش‌های دانش زمین، شماره ۳، ص ۲۹-۴۰.
- خزایی، م، شفیعی، ا، و ملایی، ع، ۱۳۹۱، بررسی تأثیر عوامل مؤثر در فرسایش آبکنندی در حوضه آبخیز مارون، پژوهش‌های خاک، جلد ۲۶، شماره ۲، ص ۱۶۳-۱۵۳.
- عرب قشقایی، ز، ۱۳۹۰. پهنه‌بندی فرسایش خندقی در حوزه آبخیز طرود فیروزکوه، فصلنامه جغرافیایی سرزمین، شماره ۳۱، ص ۱۱۹-۱۰۷.

- Bouaziz, M., Wijaya, A., and Gloaguen, R., 2011. Remote gully erosion mapping using aster data and geomorphologic analysis in the Main Ethiopian Rift, *Geo-spatial Information Science*, v. 14 (4), p 246-254.
- Chung, C.F., and Fabbri, A.G., 2003. Validation of spatial prediction models for landslide hazard mapping. *Natural Hazards*, v. 30, p.451–472.
- Conforti, M., and Pietro, P.C., 2011. Geomorphology and GIS analysis for mapping gully erosion susceptibility in the Turbolo stream catchment (Northern Calabria, Italy), *Nat Hazards*, v. 56, p. 881–898.
- Conoscenti, C., Agnesi, V., Angileri, S., Cappadonia, C., Rotigliano, E., and Märker, M., 2013. A GIS-based approach for gully erosion susceptibility modelling: a test in Sicily, Italy, *Environmental Earth Sciences*, v. 70 (3), p. 1179-1195.
- Fawcett, T., 2006. An introduction to ROC analysis, *Pattern Recognition Letters*, v. 27, p. 861–874.
- Hosmer, D.W., and Lemeshow, S., 2000. Applied logistic regression. 2nd ed. John Wiley & Sons, Inc. P. 156-164.-
- Moore, I.D., Grayson, R.B., and Ladson, A.R., 1991. Digital terrain modelling: a review of hydrological, geomorphological, and biological applications, *Hydrol Process*, v. 5, p. 3–30.
- Lucà, F., Conforti, M., and Robustelli, G., 2011. Comparison of GIS-based gullying susceptibility mapping using bivariate and multivariate statistics: Northern Calabria, South Italy, *Geomorphology*, v. 134, p. 297–308.
- Moore, I.D., Grayson, R.B., and Ladson, A.R., 1991. Digital terrain modelling: a review of hydrological, geomorphological, and biological applications. *Hydrol Process*, v. 5, p.3–30.
- Nefeslioglu, H.A., Duman, T.Y., and Durmaz ,S., 2008. Landslide susceptibility mapping for a part of tectonic Kelkit Valley (Eastern Black Sea region of Turkey), *Geomorphology*, v. 94, p. 401– 418.
- Renard, K.G., Foster, G.R., Weesies, G.A., Mccool, D.K., and Yoder, D.C., 1997. Predicting soil erosion by water: a guide to conservation planning with the revised soil loss equation (RUSLE). US Dept. of Agriculture. Agric, Handbook No, v. 703, p. 404.
- Zucca, C., 2006. Annalisa Canu and Raniero Della Peruta, Effects of land use and landscape on spatial distribution and morphological features of gullies in an agropastoral area in Sardinia (Italy), *Catena*, v. 68, p.87- 95.